

ARRECIFES DE CORAL MIOCENOS DE LA CORDILLERA BÉTICA

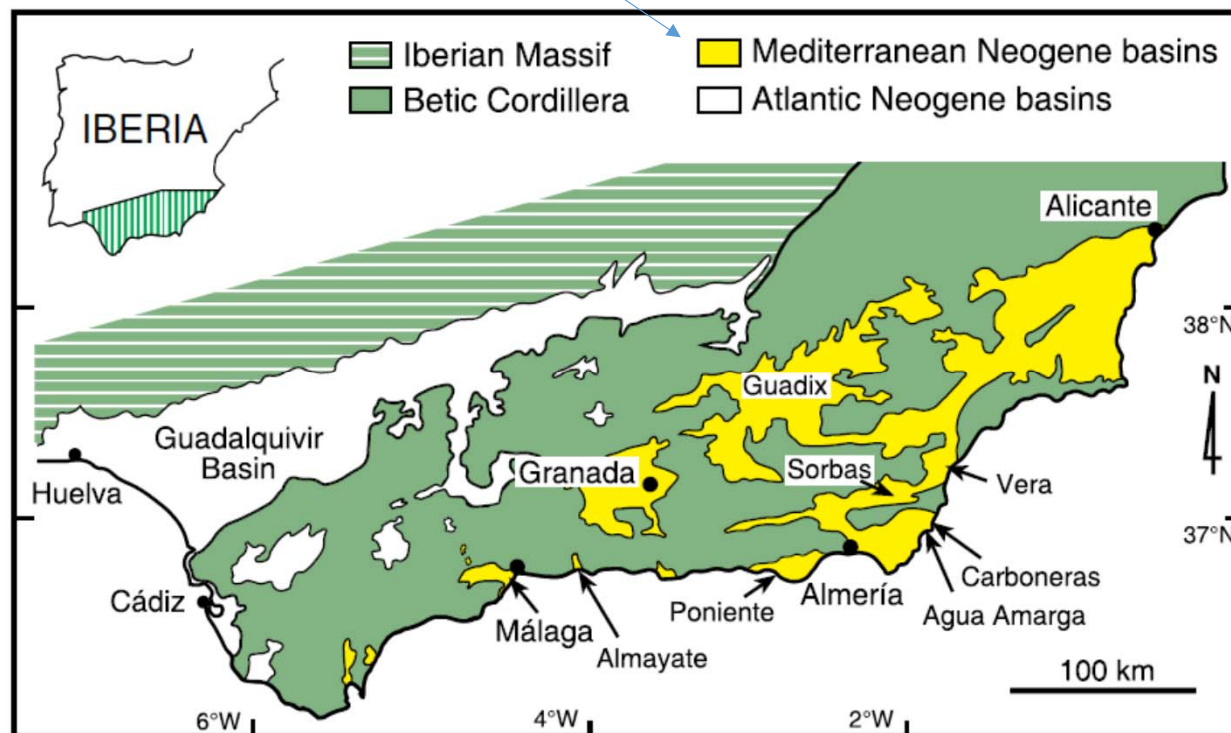
José M. Martín & Juan C. Braga

Departamento de Estratigrafía y Paleontología

Universidad de Granada

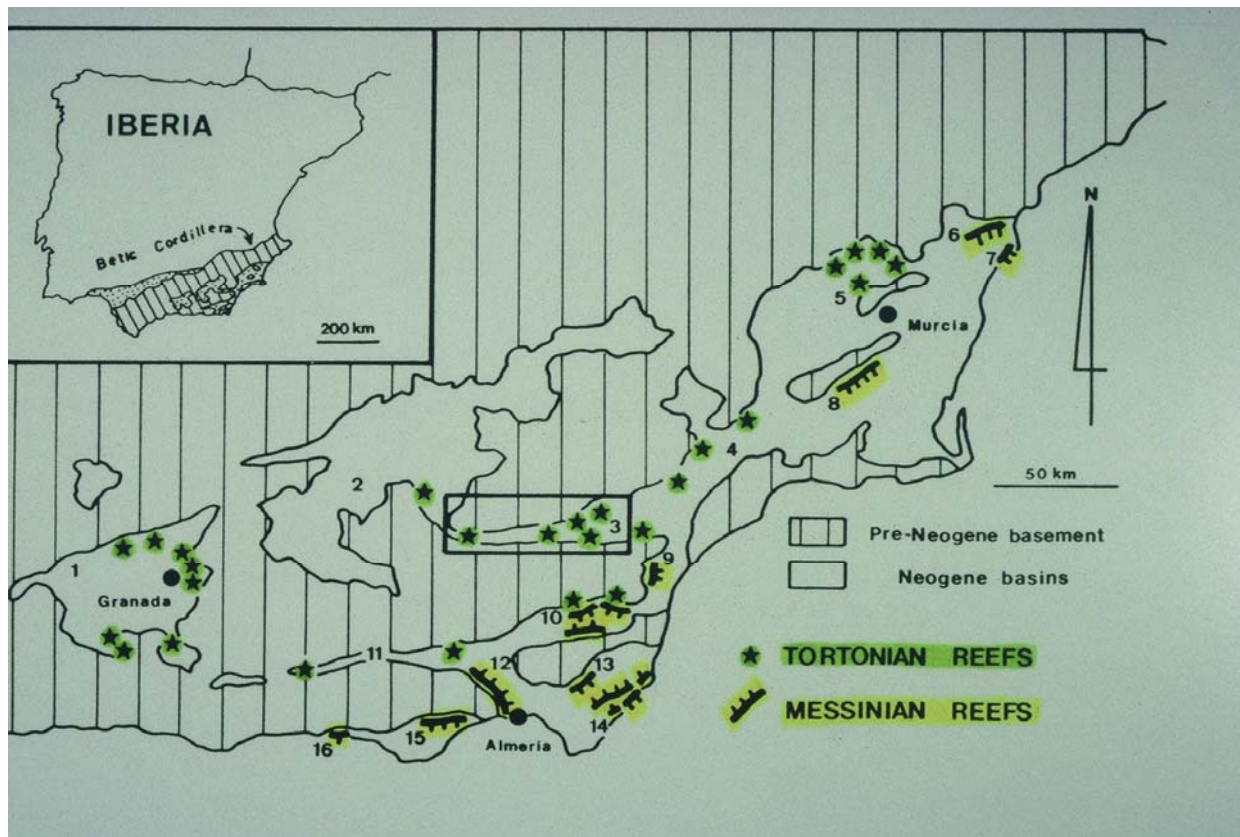
LOCALIZACIÓN GEOGRÁFICA

Los arrecifes se localizan en los márgenes de las Cuencas Neógenas Béticas de filiación Mediterránea



ENCUADRE TEMPORAL

Los episodios más importantes de desarrollo arrecifal acontecen en dos momentos concretos del Mioceno superior, en el Tortoniano superior (hace ~ 8 Ma) y en el Messiniense (hace ~ 6 Ma)

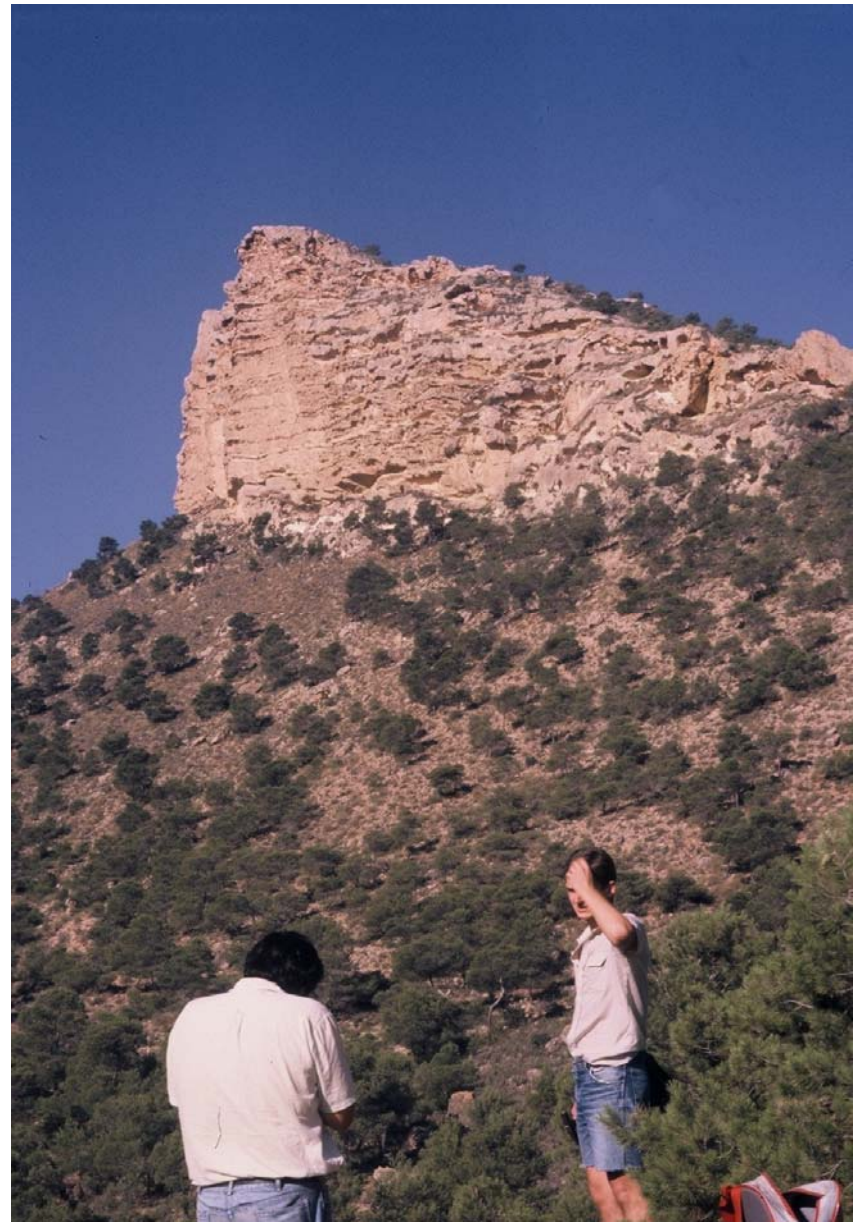


ARRECIFES TORTONIENSES

Las calizas arrecifales alcanzan localmente espesores considerables



Las colonias de coral se acumulan directamente unas sobre otras, preservadas “en posición de vida”



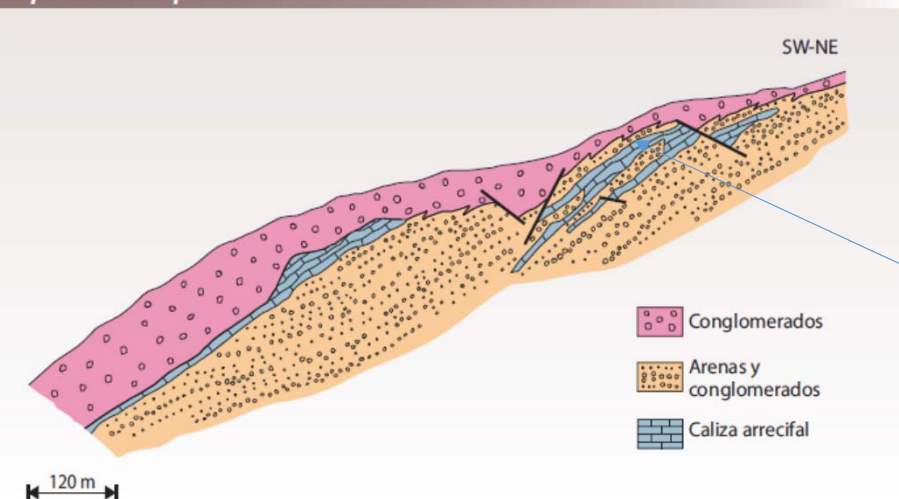
LOS ARRECIFES TORTONIENSES DE LA DEPRESIÓN DE GRANADA

Arrecifes costeros, en márgenes estables (borde norte y alrededor de la “Isla de la Tórtola”), y pequeños parches arrecifales, relacionados con deltas y abanicos deltaicos conglomeráticos, en el margen este de la cuenca

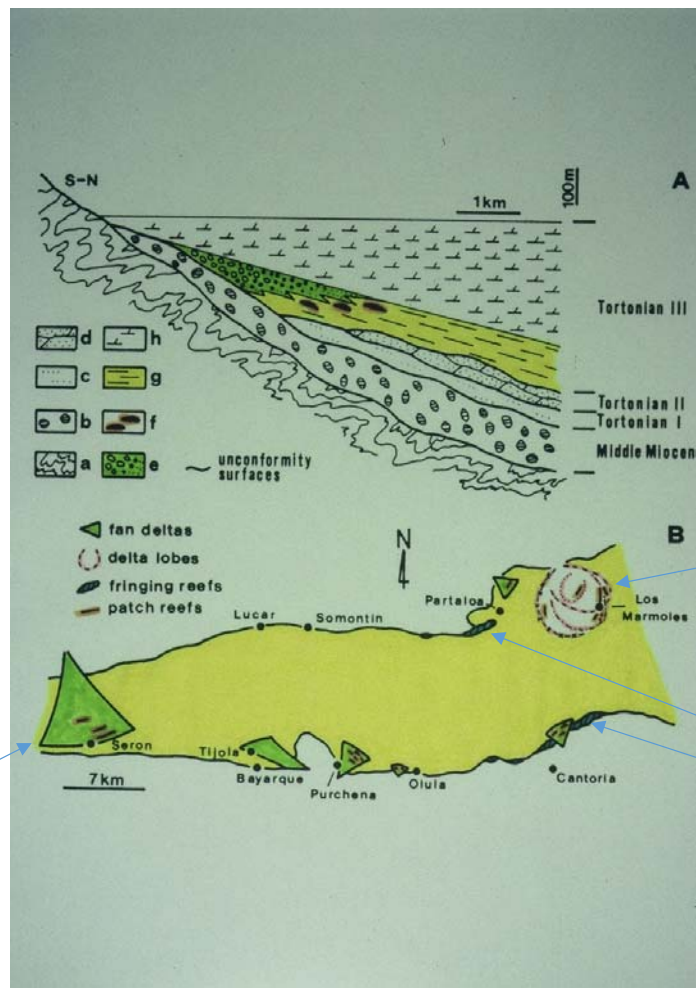
El desarrollo de los arrecifes fue coetáneo con la sedimentación conglomerática



Esquema interpretativo del arrecife de monachil



LOS ARRECIFES TORTONIENSES DEL CORREDOR DEL RÍO ALMANZORA



Pequeños parches arrecifales se localizan en la parte frontal de abanicos deltaicos

Los arrecifes colonizan lóbulos deltaicos abandonados

Hay tambien arrecifes costeros

LOS CORALES TORTONIENSES

Los corales dominantes en los arrecifes tortonienses son *Porites* y *Tarbellastraea*

Las morfologías de colonias más comunes son troncocónicas invertidas y en cabezo (hemiesféricas)

Localmente aparecen también crecimientos en plato y campaniformes



LOS PORITES

Las colonias de Porites se implantan directamente sobre sedimento terrígeno (limo en el ejemplo mostrado)



En determinados casos, debido a la escasa profundidad del agua, las colonias de coral aparecen enrasadas a techo como si hubiesen sido limpiamente cortadas con un cuchillo

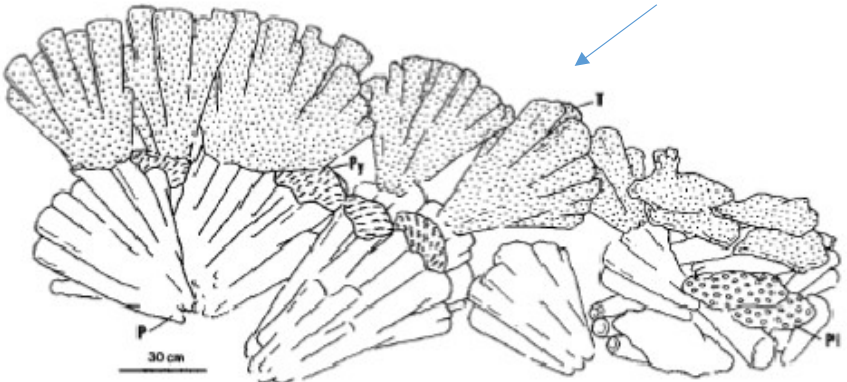


Las ramas de coral aparecen a veces encostradas por crecimientos ramosos de corallináceas (algas rojas)

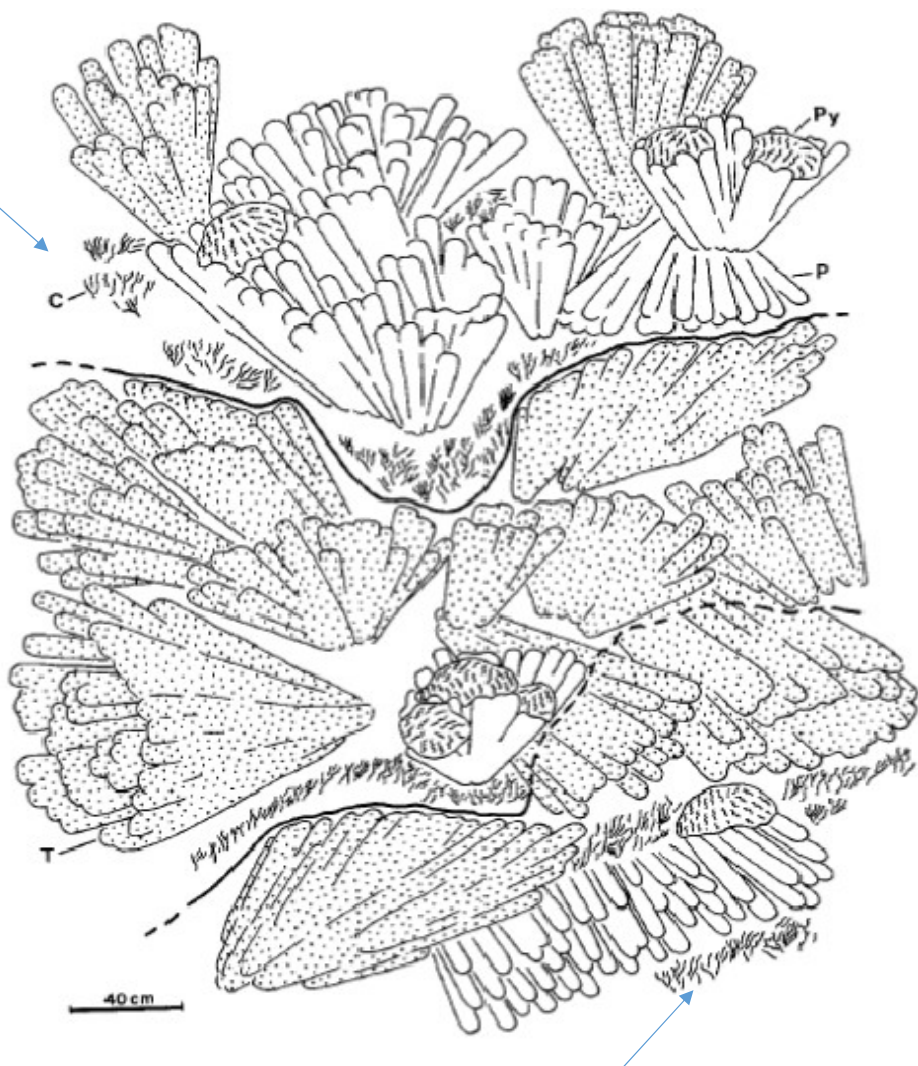
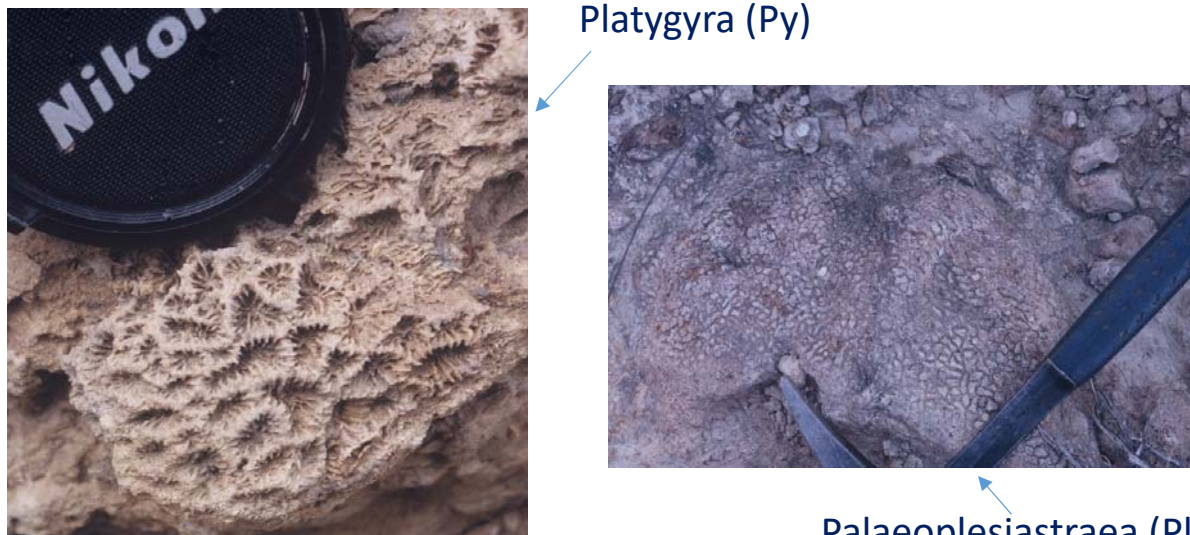


LOS CICLOS PORITES -TARBELLASTRAEA

El estudio de detalle de las estructura interna revela la existencia de ciclos Porites (P)-Tarbellastraea (T) interpretados como sucesiones ecológicas



Los niveles de Porites muestran una mayor diversidad de corales (hasta 7-8 géneros)



C: Corallináceas (algas rojas ramosas)

PECULIARIDADES DE LOS ARRECIFES TORTONIENSES

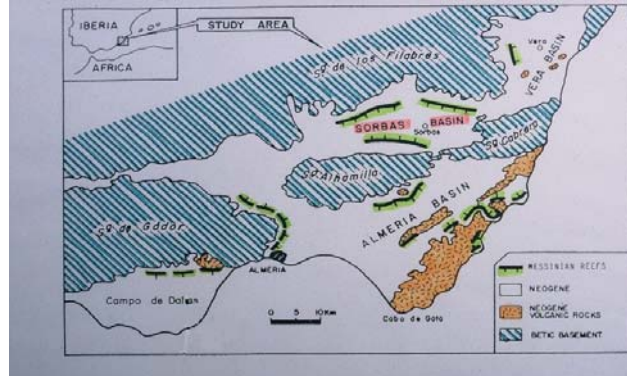
Coexistencia con una sedimentación terrígena significativa. La situación, en este sentido, es comparable con la que ocurre en la actualidad en las costas orientales del Mar Rojo, donde los abanicos deltaicos ligados a las “ramblas” que drenan los escarpados relieves están localmente colonizados por arrecifes de coral



Disminución brusca de la diversidad coralina de la fase de colonización (“nivel de Porites”) a la fase de climax (“nivel de Tarbellastraea”). Sucesiones ecológicas comparables (de *Porites*/*Acropora*) se encuentran en algunos arrecifes actuales caribeños (Belize) y han sido también descritas en arrecifes de coral fósiles del Pleistoceno de Kenia

LOS ARRECIFES MESSINIENSES

Unidad de los Biohermos y Arrecife Costero



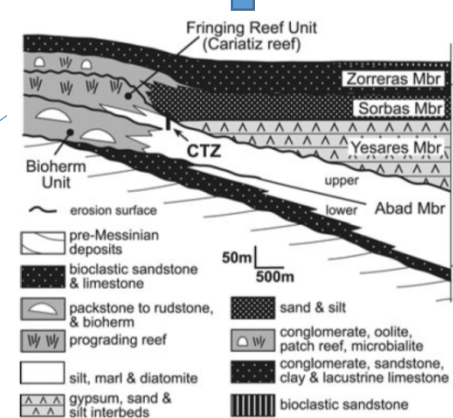
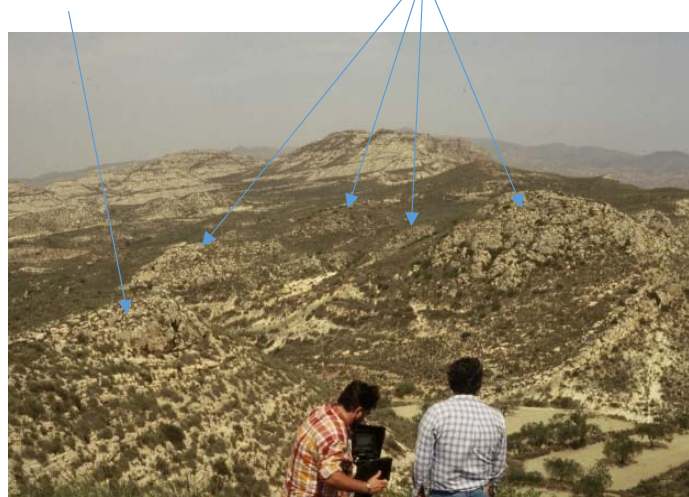
ARRECIFES COSTEROS: Construcciones lineales muy continuas, desarrolladas a lo largo de la antiguas líneas de costa, bordeando los relieves emergidos



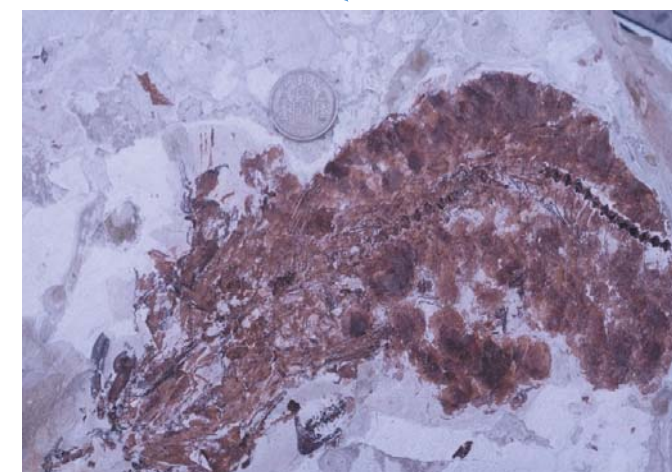
BIOHERMOS: Bioconstrucciones aisladas, amonticuladas

Biohermos de Halimeda

Biohermo de coral

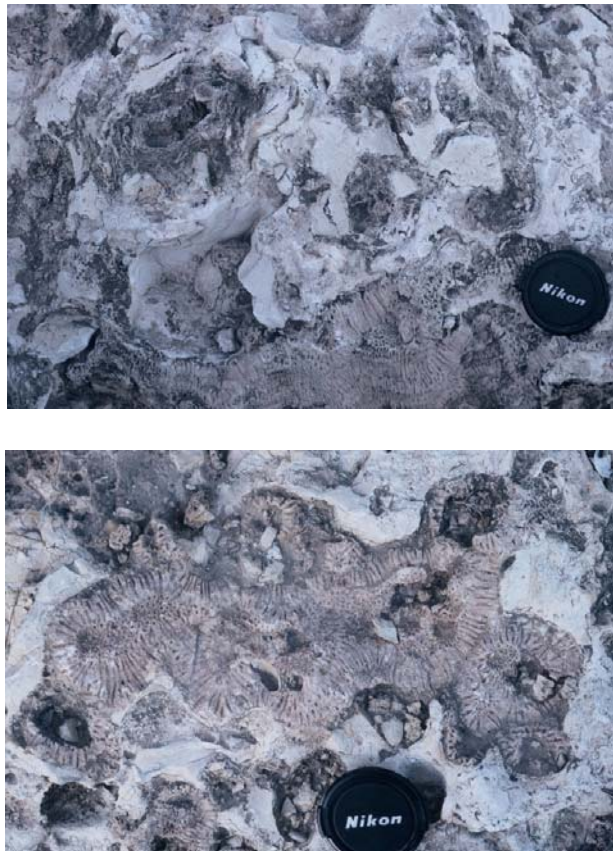


Las unidades arrecifales cambian lateralmente a margas amarillas que intercalan diatomitas con restos de peces



UNIDAD DE LOS BIOHERMOS (~ 6.5 Ma)

BIOHERMOS DE CORAL



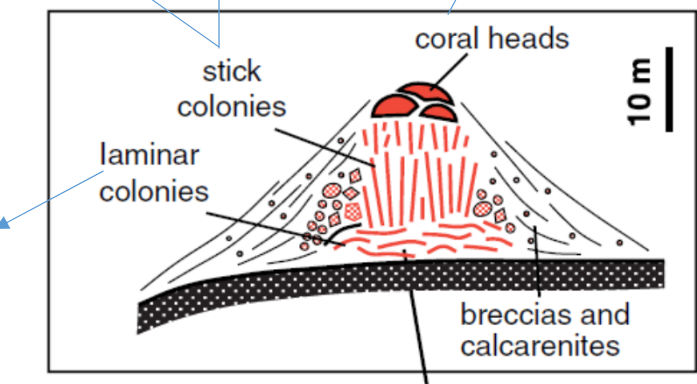
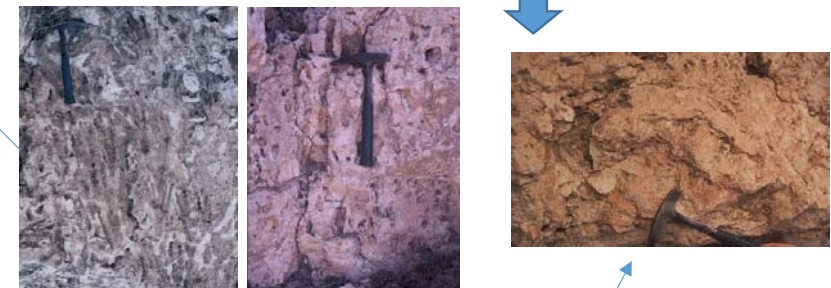
Aparecen tanto Porites como Tarbellastraea, frecuentemente rodeados por costras micríticas de origen microbiano



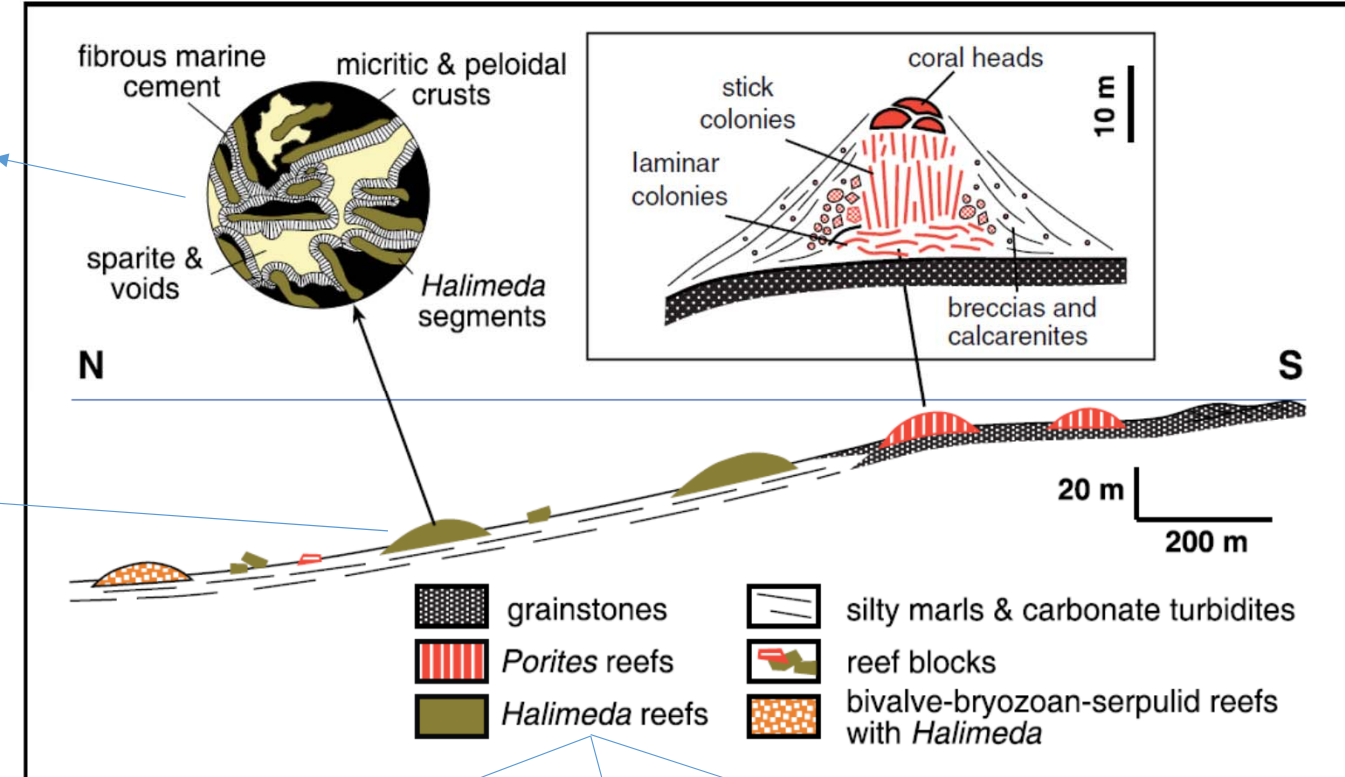
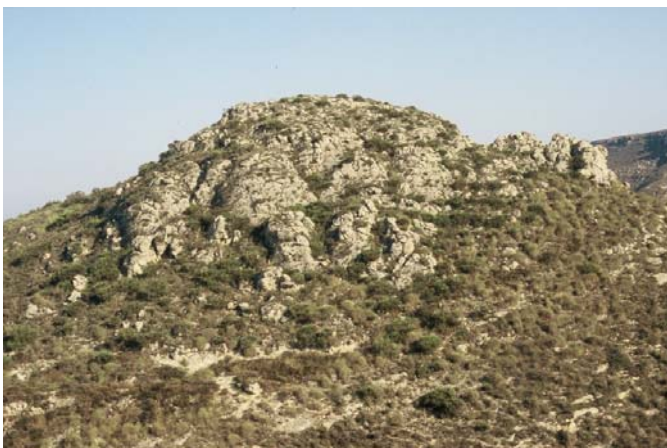
Se intercalan entre calcarenitas bien estratificadas



ZONACIÓN Y ESTRUCTURA INTERNA



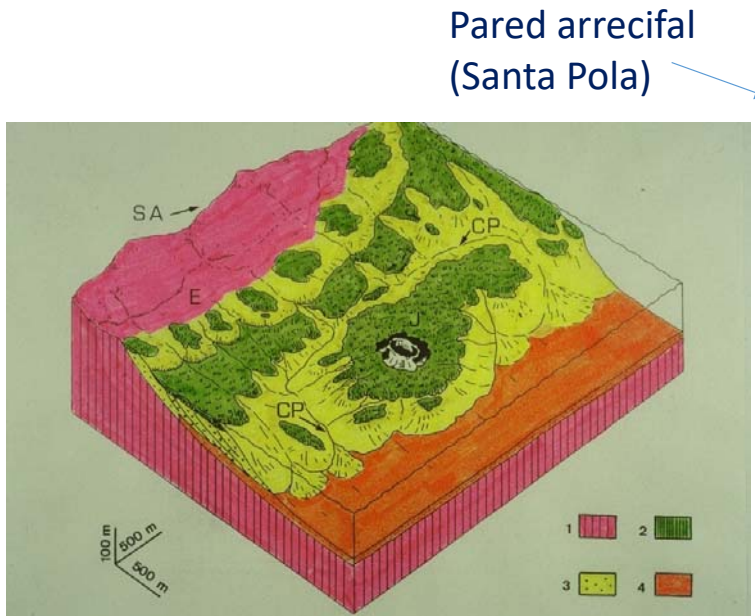
BIOHERMOS DE HALIMEDA



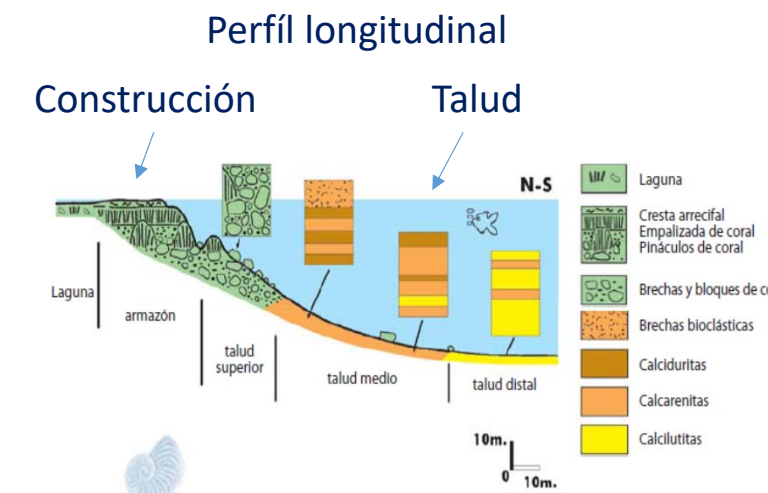
Los biohermos de *Halimeda* se desarrollaron a profundidades entre los 30-60 m, colonizando un substrato margoso



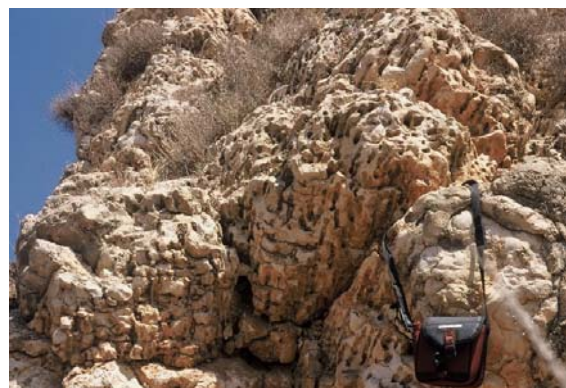
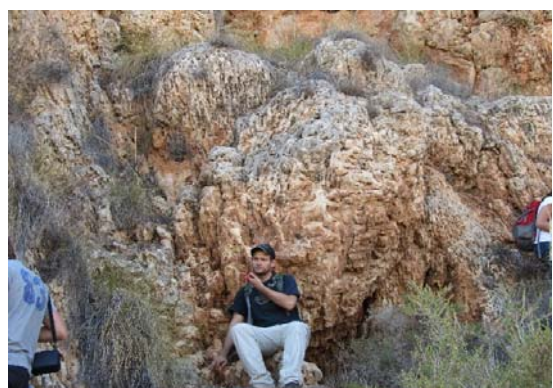
EL ARRECIFE COSTERO (~ 6 Ma): LOS ARRECIFES DE CORALES-ESTROMATOLITOS



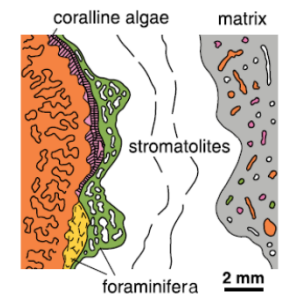
Morfología tridimensional
(arrecife de Níjar)



Porites es el coral dominante y casi exclusivo

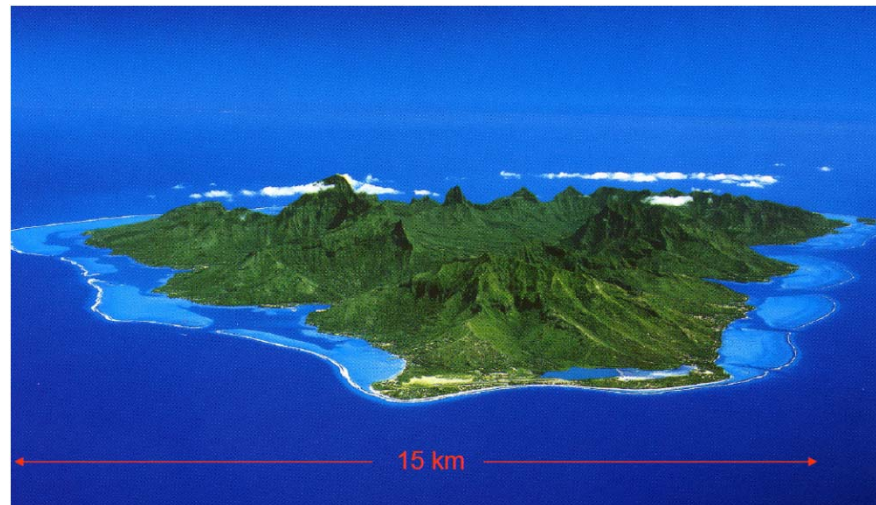
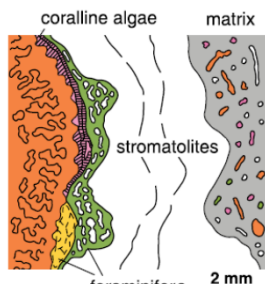


Los corales están encostrados por estromatolitos

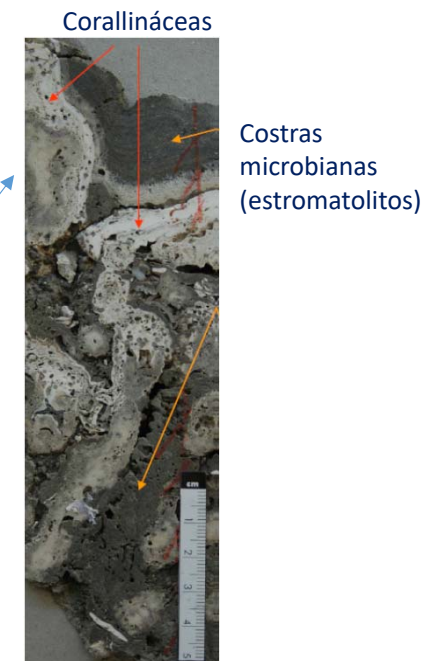


LAS COSTRAS MICROBIANAS DE LOS ARRECIFES MESSINIENSES

Costras similares aparecen en los arrecifes de coral Holocenos de Tahití



La presencia de equinidos regulares (*Arbacia*) en la matriz bioclástica de la roca arrecifal messiniense excluye salinidades anómalas



CICLICIDAD EN EL ARRECIFE COSTERO

El arrecife costero muestra dos ordenes de ciclicidad relacionadas con fluctuaciones del nivel del mar

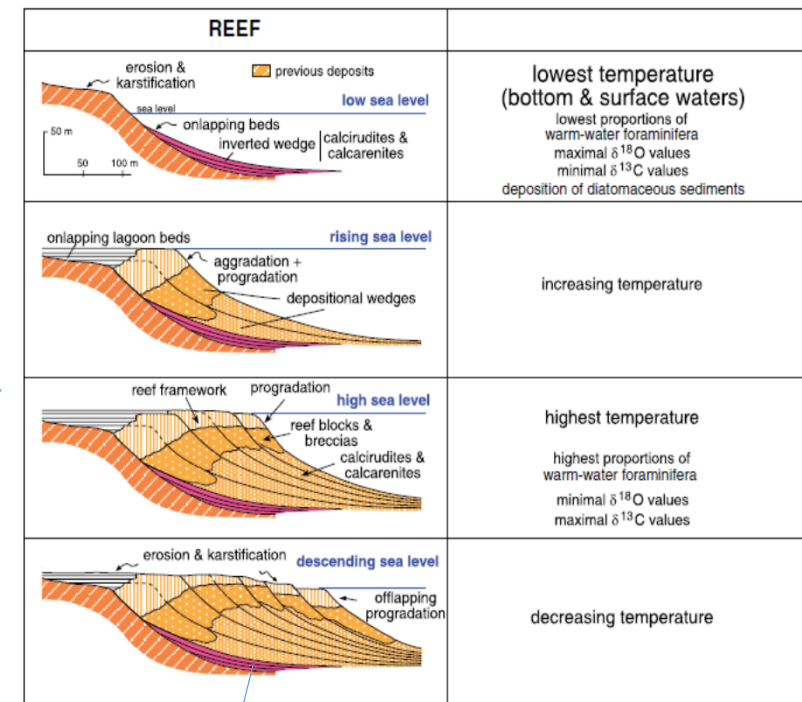
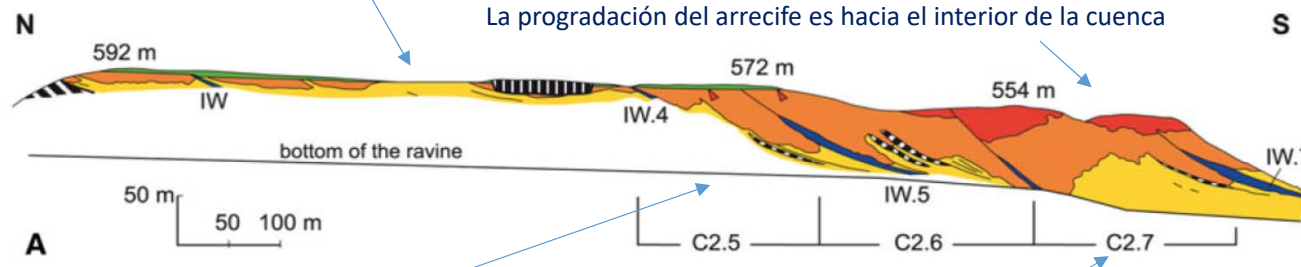
Ciclos de alta frecuencia: geometrías resultantes, rasgos sedimentarios y factores de control



coarse siliciclastics

upper Messinian unit

small outcrops of reef core

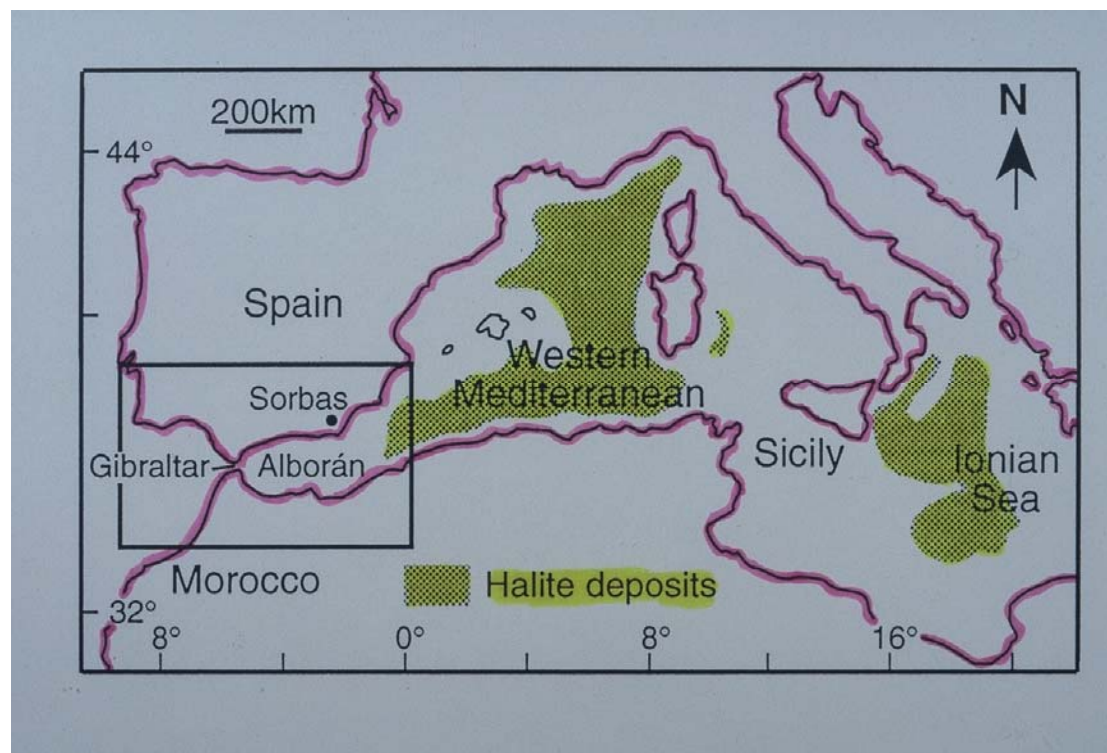


LA CRISIS DE SALINIDAD MESSINIENSE

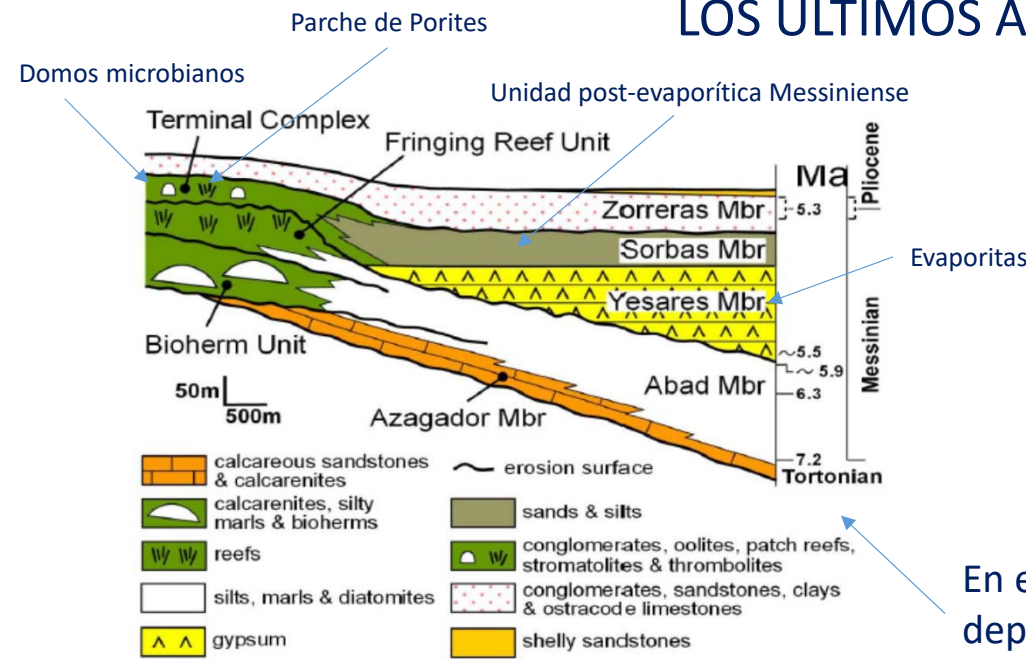
En el Messiniense, hace ~ 5.9 Ma, el Mar Mediterráneo quedó desconectado del Océano Atlántico



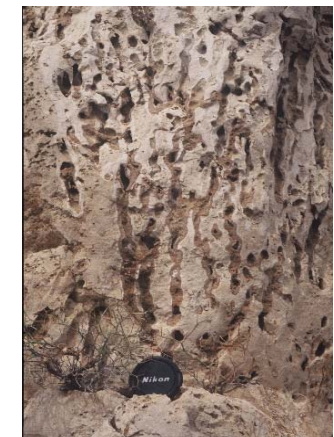
Como consecuencia de ello el Mediterráneo se secó, depositándose grandes masas de sal (halita) en las zonas más profundas del mismo y de sulfato (yeso) en los márgenes, desapareciendo todo vestigio de vida marina (incluyendo los arrecifes de coral)



LOS ÚLTIMOS ARRECIFES DE CORAL DEL MEDITERRÁNEO



Se trata de pequeños parches arrecifales, constituidos exclusivamente por Porites



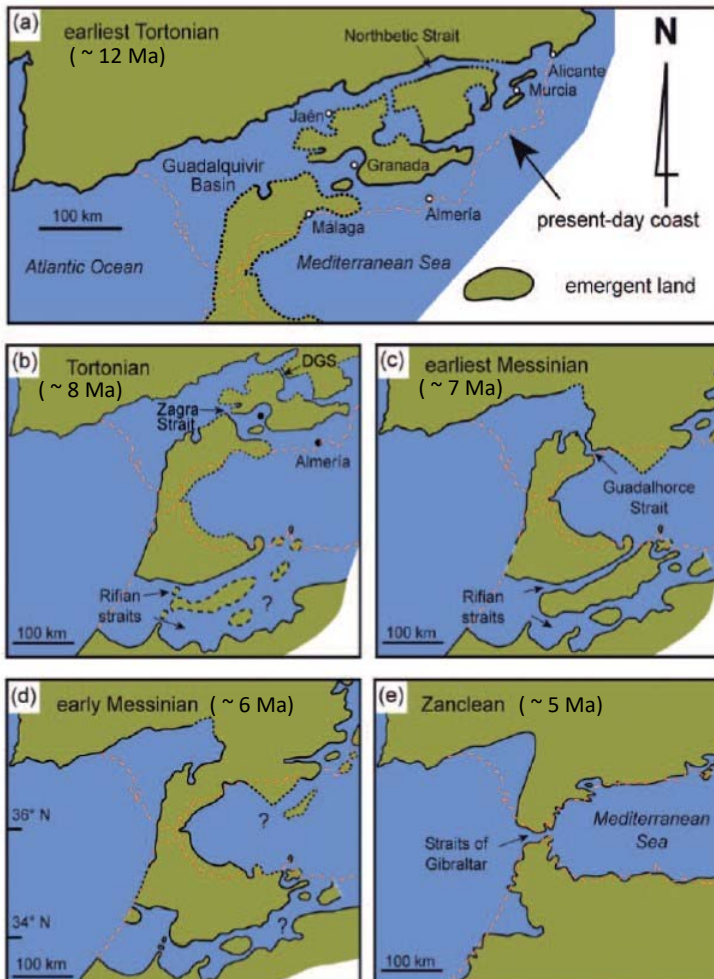
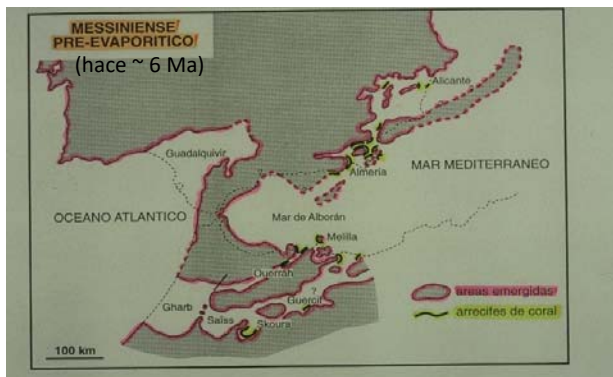
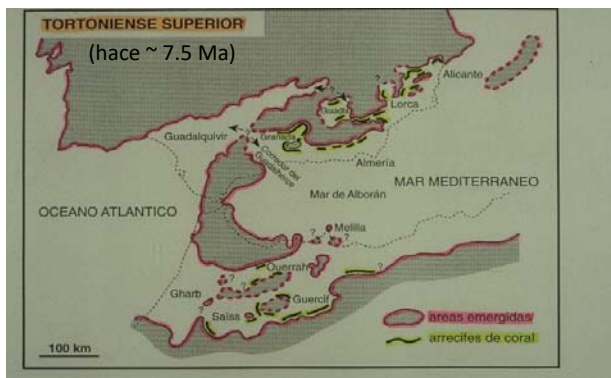
En el Messiniense terminal (hace ~ 5.4 Ma), con posterioridad al depósito de las evaporitas ligadas a la Crisis de Salinidad, se volvieron a formar arrecifes de coral



Coexisten en el tiempo con grandes domos microbianos (estromatolitos y trombolitos). La gran abundancia de estructuras microbianas se liga al carácter oportunista de los microorganismos que las forman, que proliferaron ampliamente recolonizando gran parte de los nichos ecológicos existentes tras la Crisis de Salinidad

LOS ARRECIFES DE CORAL Y LOS GRANDES CAMBIOS PALEOGEOGRÁFICOS

Los arrecifes de coral son herramientas muy útiles a la hora de trazar las posiciones de las antiguas líneas de costa



En la Cordillera Bética los primitivos relieves surgieron como islas que fueron progresivamente engrosándose conforme esta fue levantando, al tiempo que se iban cerrando las conexiones Atlántico-Mediterráneo

LA AUSENCIA DE ARRECIFES CORAL EN EL MEDITERRÁNEO ACTUAL

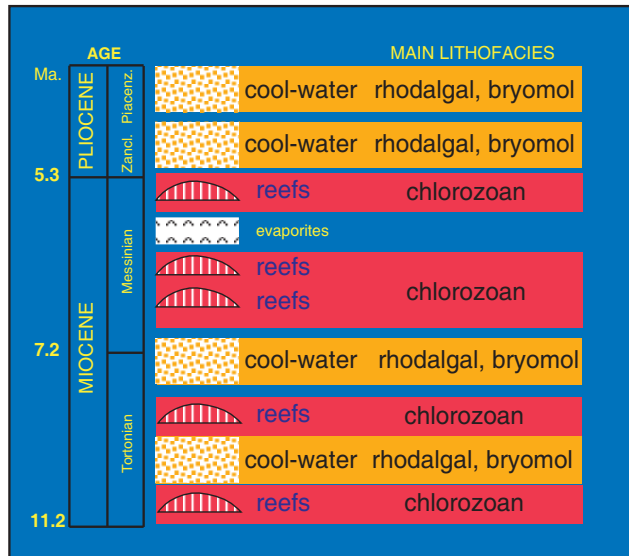
Las condiciones climáticas frías imperantes durante el Cuaternario (~ últimos 2 Ma) impiden el crecimiento y desarrollo de arrecifes de coral en el Mediterráneo actual



Al inicio del Plioceno, la apertura del Estrecho de Gibraltar, mas al norte de los antiguos Estrechos Rifeños, conllevó la desaparición definitiva de los arrecifes de coral en el Mediterráneo, con la entrada de aguas superficiales, mas frías, desde el Atlántico

LOS ARRECIFES DE CORAL Y LOS CAMBIOS CLIMÁTICOS

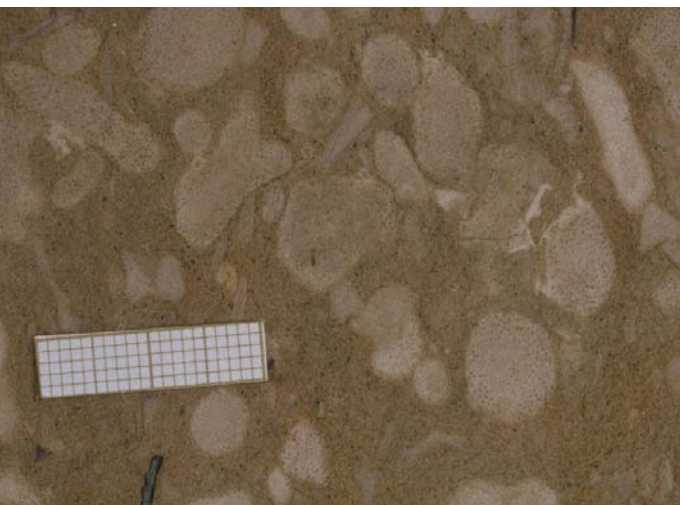
Carbonatos templados



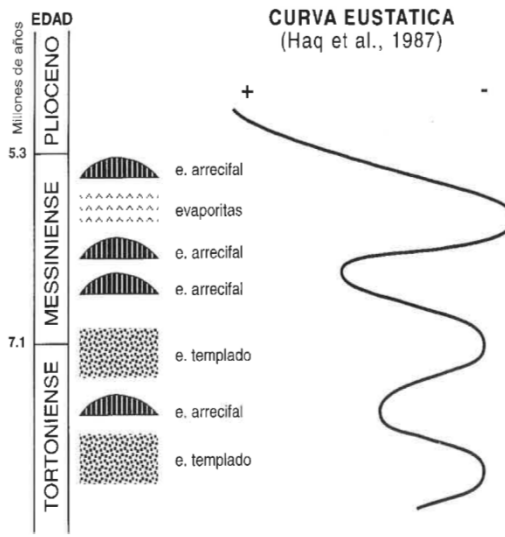
En el registro estratigráfico del Neógeno superior (Mioceno superior-Plioceno) mediterráneo alternan los carbonatos de aguas frías (templados) con los aguas cálidas (tropicales). Los templados se generaron en las plataformas marinas en condiciones similares al las del Mediterráneo actual, con temperaturas medias del agua en superficie en invierno entre los 14 y 17 °C; cuando se formaron los tropicales (arrecifes de coral) dicha temperatura igualó o superó los 20 °C

Carbonatos tropicales

La asociación biótica típica de los carbonatos templados, en la que los corales hermatípicos (coloniales) y las algas verdes (*Halimeda*) están ausentes, incluye abundantes restos de bivalvos, briozos y algas rojas



CONSECUENCIAS DE LOS CAMBIOS CLIMÁTICOS DEL MIOCENO SUPERIOR EN EL DESARROLLO ARRECIFAL



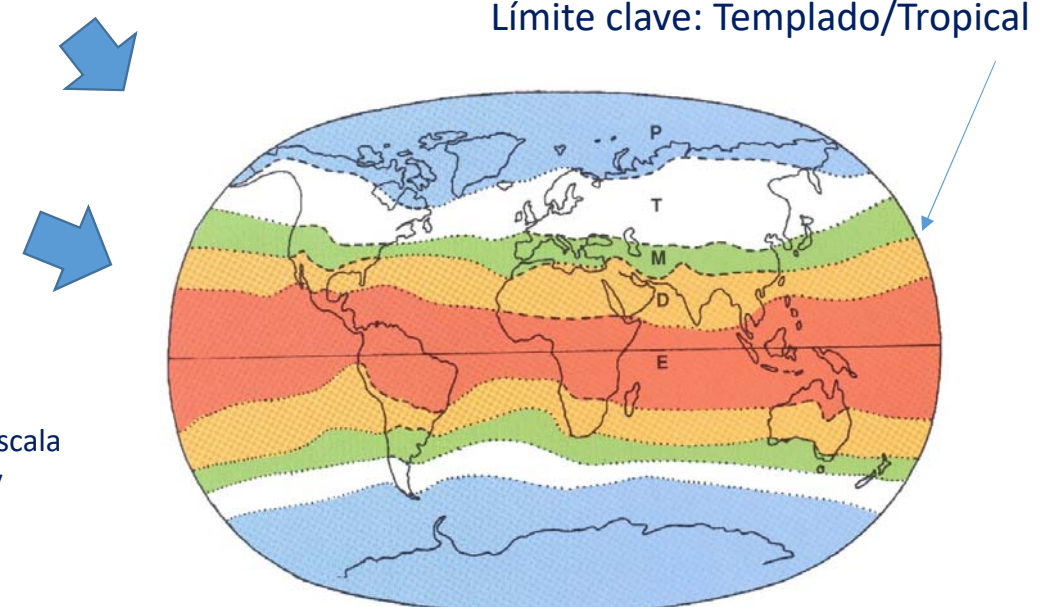
El tipo de carbonato depositado en las plataformas marinas miocenas mediterráneas se relaciona con variaciones en la temperatura del agua del mar, a su vez conectadas con variaciones de nivel del mar. Los carbonatos templados correlacionan con los episodios de bajo nivel del mar. Los tropicales con los de alto nivel del mar. Estas variaciones de nivel del mar a escala global van presumiblemente ligadas a la contracción y expansión de los casquitos polares

Cinturones climáticos.

P: Polar; T: Templado; M: Templado Mediterráneo;
D: Desértico (Tropical); E: Ecuatorial

En los episodios fríos los casquitos polares se expanden y todo el área mediterránea queda englobada dentro del cinturón climático templado, al desplazarse el límite templado/tropical hacia el sur. En los episodios cálidos los casquitos polares funden significativamente, el cinturón tropical (desértico) conquista el área mediterránea, y las condiciones se tornan subtropicales y favorables, por tanto, al desarrollo de los arrecifes de coral

La disminución en la diversidad coralina del Tortoniense al Messiniense es consecuencia del progresivo enfriamiento climático que experimenta la Tierra, a escala global, en el Mioceno superior. Los Porites, como coral resistente a temperaturas y salinidades algo más "extremas", son los únicos que subsisten, en el Messiniense terminal, en los bordes del cinturón climático tropical en el área mediterránea



Bibliografía seleccionada

- Braga, J.C. and Martín, J.M. (1996). Geometries of reef advance in response to relative sea-level changes in a Messinian (uppermost Miocene) fringing reef (Cariatz reef, Sorbas Basin, SE Spain). *Sedimentary Geology*, 107: 61-81.
- Braga, J.C., Martín, J.M. and Alcalá, B. (1990). Coral reefs in coarse-terrigenous sedimentary environments (Upper Tortonian, Granada Basin, southern Spain). *Sedimentary Geology*, 66: 135-150.
- Braga, J.C., Martín, J.M. and Riding, R. (1996). Internal structure of segment reefs: *Halimeda* algal mounds in the Mediterranean Miocene. *Geology*, 24: 35-38.
- Braga, J.C., Martín, J.M., Betzler, C. and Aguirre, J. (2006). Models of temperate carbonate deposition in Neogene basins in SE Spain: a synthesis. In: Cool-water Carbonates: Depositional Systems and Palaeoenvironmental Control (M. Pedley and G. Carannante, Editors). Geological Society of London, Special Publications, 255: 121-135.
- Braga, J.C., Martín, J.M., Riding, R., Aguirre, J., Sánchez-Almazo, I.M. and Dinarès-Turell, J. (2006). Testing models for the Messinian salinity crisis: the Messinian record in Almería, SE Spain. *Sedimentary Geology*, 188-189: 131-154.
- Crame, J. A. 1980: Succession and diversity in the Pleistocene coral reefs of the Kenya coast. *Palaeontology*, 23: 1-37.
- Crame, J. A. 1981: Ecological stratification in the Pleistocene coral reefs of the Kenyan coast. *Palaeontology*, 24: 609-646.
- Dabrio, C.J., Esteban, M. and Martín, J.M. (1981). The coral reef of Níjar, Messinian (Uppermost Miocene), Almería Province, S.E. Spain. *Journal of Sedimentary Petrology*, 51: 521-539.
- Esteban, M., Braga, J.C., Martín, J.M. and Santisteban, C. (1996). Western Mediterranean reef complexes. In: Models for Carbonate Stratigraphy from Miocene Reef Complexes of the Mediterranean Regions (E. Franseen, M. Esteban, B. Ward and J.M. Rouchy, Editors). Society of Economic Paleontologists and Mineralogists (SEPM), Concepts in Sedimentology and Paleontology Series 5, Tulsa, Oklahoma, p. 55-72.
- Hayward, A.B. (1982). Coral reefs in a clastic sedimentary environment: fossil (Miocene, SW Turkey) and modern (Recent, Red Sea). *Coral Reefs*, 1: 109-114.
- Hsü, K.J., Montadert, L., Bernoulli, D., Cita, M.B., Erickson, A., Barrison, R.E., Kidd, R.B., Melières, F., Müller, C. and Wright, R. (1977). History of the Messinian salinity crisis. *Nature*, 267: 399-403.
- Martín, J.M. and Braga, J.C. (1994). Messinian events in the Sorbas Basin in southeastern Spain and their implications in the recent history of the Mediterranean. *Sedimentary Geology*, 90: 257-268.
- Martín, J.M. and Braga, J.C. (2010). Arrecifes. En: *Sedimentología* (A. Arche, Editor). Consejo Superior de Investigaciones Científicas (CSIC), Servicio de Publicaciones, Textos Universitarios 46, Capítulo XVIII, p. 919-970.
- Martín, J.M., Braga, J.C. and Rivas, P. (1989). Coral successions in Upper Tortonian reefs in SE Spain. *Lethaia*, 22: 271-286.
- Martín, J.M., Braga, J.C. and Riding, R. (1993). Siliciclastic stromatolites and thrombolites, late Miocene, S.E. Spain. *Journal of Sedimentary Petrology*, 63: 131-139.
- Martín, J.M., Braga, J.C. and Riding, R. (1997). Late Miocene *Halimeda* alga-microbial segment reefs in the marginal Mediterranean Sorbas Basin, Spain. *Sedimentology*, 44: 441-456.
- Martín, J.M., Braga, J.C., Sánchez-Almazo, I.M. and Aguirre, J. (2010). Temperate and tropical carbonate-sedimentation episodes in the Neogene Betic basins (southern Spain) linked to climatic oscillations and changes in Atlantic-Mediterranean connections: constraints from isotopic data. In: Carbonate systems during the Oligocene-Miocene climatic transition (M. Mutti, W. Piller & C. Betzler, Editors). International Association of Sedimentologists (IAS), Special Publication, 42: 49-70.
- Martín, J.M., Puga-Bernabéu, A., Aguirre, J. and Braga, J.C. (2014). Miocene Atlantic-Mediterranean seaways in the Betic Cordillera (southern Spain). *Revista de la Sociedad Geológica de España* 27 (1): 175-186.
- Montaggioni, L.F. and Camoin, G.F. (1993). Stromatolites associated with coralgal communities in Holocene high-energy reefs. *Geology*, 21 (2): 149-152.
- Riding, R., Martín, J.M. and Braga, J.C. (1991). Coral-stromatolite reef framework, Upper Miocene, Almería, Spain. *Sedimentology*, 38: 799-818.
- Wallace, R. J. and Schaefersman, S. D. (1977). Patch-reef ecology and sedimentology of Grovers Reef Atoll, Belize. In: *Reefs and related carbonates - ecology and sedimentology* (M. P. Frost, M.P. Weiss and J. B. Saunders, J. B., Editors). American Association of Petroleum Geologists (AAPG), Studies in Geology, 4: 37-52.